

مقدمه

چرخه آب‌شناختی نظامی است پیچیده که بیانگر گردش مدادوم آب از طریق فرایندهای بارش، رواناب سطحی، نفوذپذیری و تبخیر و تعرق می‌باشد [۱۵]. این نظام عامل‌های متعددی دارد که ارتباط چند سویه با هم داشته و به صورت مختلف بیلان آبی را تحت تأثیر قرار می‌دهد. در سال‌های اخیر نیاز به منابع آبی به سرعت در حال رشد است. افزایش تقاضای منابع آبی نیاز به مدیریت یکپارچه و پایدار آب حوزه و درک درست از بیلان آبی دارد [۳]: لذا مدل‌های آب‌شناختی به منظور شبیه‌سازی فرآیند بارش-رواناب، تحلیل جریان رودخانه و درک بهتر عوامل موثر در چرخه آب‌شناختی حوزه‌های آبخیز توسعه یافته‌اند [۱]. این مدل‌ها ابزارهای مهمی برای فهم بهتر فرایندهای مختلف آب‌شناختی حوزه، رویکردهای مدیریت بهینه منابع آبی و ارزیابی تأثیر تغییرات کاربری اراضی در دوره‌های زمانی مختلف می‌باشند [۳۲]. مدل‌های آب‌شناختی برای مسائلی همچون مدیریت حوزه و ارزیابی منابع آبی از اهمیت خاصی برخوردارند. بنابراین توسعه و تکمیل این مدل‌ها برای فهم اثرات متقابل بین اقلیم و نظام آب‌شناختی و همچنین بررسی طیف وسیعی از مشکلات زیست محیطی و منابع آبی ضروری به نظر می‌رسد [۲۵]. مدل‌های مفهومی به طور عام دارای عامل‌های زیادی هستند که نمی‌توان آن‌ها را به صورت مستقیم اندازه‌گیری کرد و لازم است که آن‌ها را از طریق واسنجی مدل برآورده نمود [۱۲]. به همین دلیل در مطالعه حاضر، روش بهینه سازی فرآگیر SCE^۴ برای شبیه‌سازی رواناب روزانه و ماهانه مدل نیمه توزیعی- فیزیکی ARCSWAT^۵ و شناخت مؤلفه‌های مختلف چرخه آب‌شناختی استفاده گردید. نتایج مطالعه فانقو هو و همکاران [۸] در شبیه‌سازی مقادیر رواناب و رسوب روزانه رودخانه لوح^۶ نشان داد که مدل SWAT^۷ می‌تواند به طور موفقیت آمیزی برای شبیه‌سازی درازمدت رواناب و رسوب حوزه‌های رودخانه بزرگ مورد استفاده قرار گیرد. سان و کورنیش در مطالعه ۳۰ ساله خود در دشت لیبورپول کشور انگلستان با مساحت^۸ ۴۳۷ km^۲ دریافتند که مدل SWAT^۷ می‌تواند به خوبی دبی رودخانه را پیش‌بینی کرده و در مقایسه با روش‌های مدل سازی منابع نقطه‌ای APSIM^۹، نتایج بهتری را ارایه دهد. بیرهانو و همکاران [۴]،

ارزیابی کارایی مدل ArcSWAT و برنامه ParaSol در شبیه‌سازی جریان (مطالعه موردي حوزه آبخیز قزاقلی استان گلستان)

حسین سلمانی^۱، محسن محسنی ساروی^۲، حامد روحانی^۳ و علی سلاجمق^۴
تاریخ دریافت: ۱۳۹۰/۱۰/۲۸ تاریخ پذیرش: ۱۳۹۲/۲/۱۷

چکیده

در مدیریت منابع آب بایستی نسبت‌های مختلف تبخیر و تعرق، آب پایه، رواناب سطحی و نفوذپذیری بدرسی شناخته شود. لذا هدف از این پژوهش، بررسی کارایی مدل ArcSWAT و برنامه ParaSol در شبیه‌سازی جریان روزانه و ماهانه، بررسی مؤلفه‌های مختلف چرخه آب‌شناختی و تعادل آبی حوزه آبخیز قزاقلی استان گلستان می‌باشد. داده‌های رواناب مشاهده‌ای ایستگاه آب‌سنجدی قزاقلی به عنوان ایستگاه مبنا در طی سال‌های آماری آبی (۱۳۶۵-۶۶) تا (۱۳۷۰-۷۱) مورد استفاده قرار گرفت. تحلیل حساسیت عامل‌ها بر اساس دو نمایانه t-stat و p-value انجام گرفت. واسنجی مدل در دو پایه زمانی روزانه و ماهانه با ضرب (E_{NS}) تعیین (R²) ۰/۸۳ و ۰/۸۶٪، ضرب (E_{NS}) کارایی نش- ساتکلیف (RMSE) ۰/۱۳ و ۰/۱۷٪ و ریشه میانگین مربعات خطأ (RMSE) ۰/۱۳ و ۰/۱۷٪ صورت پذیرفت. این ضرایب برای دوره اعتبارسنجی در پایه زمانی روزانه به ترتیب ۷۶/٪، ۷۴/٪، ۱۱/٪ و ۲۷/٪ و برای پایه زمانی ماهانه ۰/۵۹٪، ۰/۵۵٪ و ۱۴/٪ بدست آمدند. بررسی عدم قطعیت مدل با استفاده از دو عامل R-factor و P-factor نشان داد که شبیه‌سازی در پایه زمانی ماهانه نسبت به روزانه در هر دو دوره واسنجی و صحت سنجی از دقت بالاتری برخوردار است. به طور کلی نتایج حاکی از آن است که تبخیر و رواناب، دو عامل اصلی در هدر رفت آب از حوزه مورد مطالعه می‌باشند.

واژه‌های کلیدی: شبیه‌سازی، جریان، ArcSWAT، ParaSol و گلستان.

4- Shuffled Complex Evolution
5- ArcGIS Soil and Water Assessment Tool
6- Luohe
7- Agricultural Production Systems Simulator

۱- نویسنده مسئول و دانشجوی کارشناسی ارشد آبخیزداری دانشگاه تهران
Email: hsalmi@ut.ac.ir
۲- استاد منابع طبیعی دانشگاه تهران
۳- استادیار مجتمع آموزش عالی گنبد



شکل ۱- موقعیت جغرافیایی حوزه آبخیز قزاقلی در استان گلستان و کشور ایران

با استفاده از نمایانه P-factor و d-factor در سطح اطمینان ۹۵٪ نشان دهنده قابلیت بالای مدل در شبیه‌سازی رواناب و محاسبه تحلیل عدم قطعیت حوزه تانا^۱ در اتیوپی با استفاده از مدل SWAT و روش‌های رابط عدم قطعیت ترتیب (SUF-2)، حل پارامتر (ParaSol)^۲ و برآورد تحلیل عدم قطعیت درست نمایی کلی (GLUE)^۳ نشان دهنده قابلیت بالای مدل با ضرایب تعیین و ضریب راندمان نش- ساتکلیف بزرگ‌تر از ۰/۵ بود [۲۹]. نتایج مطالعات شی و همکاران [۳۰] در بررسی کارایی دو مدل SWAT و مدل (Xinanjiang XAJ) در شبیه‌سازی آب‌شناختی حوزه رودخانه سیکسین^۴ نشان داد که در حوزه‌هایی با پیچیدگی بالا، SWAT مدلی مناسب برای شبیه‌سازی آب‌شناختی کمیت و کیفیت آب و برآورد اثرات تغییرات کاربری اراضی و فعالیت‌های بشری است.

هدف از انجام این مطالعه، بکارگیری یک روش بهینه سازی فراگیر در تعیین توابع عامل‌های توابع چند بعدی مدل ArcSWAT برای شبیه‌سازی جریان روزانه و ماهانه حوزه آبخیز قزاقلی می‌باشد. بعد از شناخت عامل‌های حساس و موثر بر دبی رودخانه، واسنجی با استفاده از این عامل‌ها انجام شد. سپس فرایند اعتبارسنجی به منظور بررسی قابلیت مدل با استفاده از مقادیر بهینه حاصل از واسنجی به اجرا در آمد. به طور کلی کاربرد این مدل درک بهتری از فرایند پیچیده حوزه آبخیز قزاقلی به منظور مدیریت بهینه منابع آبی فراهم می‌سازد.

جریان رودخانه‌ای در شمال تانزانیا را با استفاده از مدل SWAT شبیه‌سازی کردند. در مراحل واسنجی و اعتبارسنجی، نتایج کارایی مدل با ضریب R^2 به ترتیب ۸۲٪ و ۵۹٪ بدست آمدند. ماتوچ ژا و همکاران [۱۸]، بر روی آبخیز رودخانه راکون^۵ در آمریکا مطالعه‌ای را انجام داده و جریان آبراهه‌ای را با استفاده از مدل SWAT مورد بررسی قرار دادند. در پژوهش آنها، نتایج واسنجی و اعتبارسنجی کارایی مدل با ضریب R^2 برای دوره سالانه به ترتیب ۹۷٪ و ۹۴٪ و برای دوره ماهانه ۸۷٪ و ۸۹٪ بدست آمد. اندومبا و بیرهانو [۲۱]، حوزه‌های مریبوط به رودخانه نیل را مورد مطالعه قرار دادند. در این مطالعه مدل SWAT رواناب را با ضریب نش- ساتکلیف از ۱۳/۷ تا ۱۴۳/۹۸٪، ضریب تعیین R^2 بین ۲۶ تا ۷۲٪ و نمایانه IVF^۶، ۰/۷۷ تا ۰/۷۲٪ بدست آمد. صالح و همکاران [۲۶] مدل SWAT۲۰۰۵ را برای شبیه‌سازی رواناب حوزه ماسکینگ^۷ در کالیفرنیا بکار برdenد. مدل برای ۲۹ روز در فوریه ۲۰۰۴ واسنجی و برای ۵۸ روز در زانویه و فوریه ۲۰۰۵ اعتبارسنجی گردید. مقدار ضریب نش- ساتکلیف در طول دوره واسنجی و اعتبارسنجی به ترتیب ۷۷٪ و ۰/۳۳٪ بدست آمد. به طور کلی شبیه‌سازی رواناب توسط مدل رضایت بخش نبود که این عدم موفقیت به احتمال به علت محدودیت اطلاعات رواناب اندازه‌گیری شده موجود برای واسنجی بود. رستمیان و همکاران [۲۵] برای مدل سازی رواناب و رسوب حوزه‌های آبخیز بهشت آباد و حوزه ونک از مدل SWAT و برنامه رابط عدم قطعیت ترتیبی (SUF-2)^۸ استفاده کردند. ارزیابی قابلیت واسنجی و عدم قطعیت

5- Lake Tana

6- Parameter Solution

7- Generalized Likelihood Uncertainty Estimation

8- Xixian

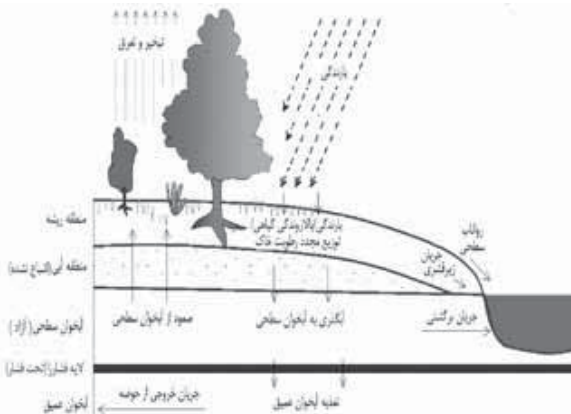
1- Rakon

2- Index of Volumetric Fit

3- Mustang Creek

4- Sequential Uncertainty Fitting- version 2

مواد و روش‌ها منطقه مورد مطالعه



شکل ۲- نمایی از چرخه هیدرولوژیک در مدل SWAT [۲۴]

[۱۹]. رواناب سطحی توسط دو روش شماره منحنی^۱ SCS و روش گرین-آمپ^۲ محاسبه می‌گردد. عامل‌های اصلی کنترل کننده رواناب سطحی شامل CN2 (شماره منحنی SCS اولیه برای شرایط رطوبتی متوسط)، SOL_AWC (ظرفیت آب قابل دسترس لایه‌های خاک) و SOL_K (هدایت هیدرولوکی اشباع لایه‌های خاک) می‌باشد [۲۲]. دراین مدل حداکثر رواناب بر اساس روش استدلالی محاسبه می‌شود.

در مدل SWAT تبخیر و تعرق بالقوه با سه روش پریستلی - تیلور، پنمن - مانتیس و هارگریوز - سامانی محاسبه می‌شود. پارامترهای مورد نیاز روش پنمن - مونتیث شامل دمای هوا، تابش خورشیدی، رطوبت نسبی و سرعت باد می‌باشد. روش پریستلی - تیلور به دمای هوا، تابش خورشیدی و رطوبت نسبی نیاز دارد. روش هارگریوز - سامانی تنها به دمای هوا نیاز دارد. مقدار آبی که از لایه به لایه بعدی حرکت می‌کند را با استفاده از روش روندیابی ذخیره محاسبه می‌کند. دراین بررسی از روش‌های ماسکینگام، شماره منحنی SCS می‌کند. دراین برای شبیه‌سازی استفاده گردید [۲۶]. همچنین برای دقت بالاتر برای شبیه‌سازی استفاده گردید [۲۷]. همچنین برای واسنجی از داده‌های ۱۱ ایستگاه باران‌سنجدی، ۹ ایستگاه دماسنجدی، ۷ ایستگاه رطوبت سنجدی، ۱۲ ایستگاه بادسنجدی و تابش سنجدی داخل و اطراف حوزه در طی سال‌های ۱۹۸۷-۱۹۹۲ (سال‌های آبی ۶۶-۷۱) تا (۱۳۶۵-۱۳۷۰) استفاده شد (جدول ۱).

برنامه loSaraP و الگوریتم بهینه سازی^۴ AU-ECS

از برنامه ParaSol (تحت برنامه الحقیقی SWAT-CUP) برای تحلیل حساسیت عامل، واسنجی و صحت سنجدی فرآیند شبیه‌سازی استفاده می‌شود [۱۴ و ۳۵]. روش ParaSol بر اساس نمایانه بهینه

حوزه آبخیز قراقلی با مختصات جغرافیایی $37^{\circ} 45' 48''$ طول شرقی و $55^{\circ} 01' 27''$ عرض شمالی در استان گلستان و در چین خوردگی‌های شمالی سلسله جبال البرز قرار دارد (شکل ۱). مساحت این حوزه در حدود 7072 km^2 می‌باشد. این حوضه از شمال به حوزه آبخیز اترک، از جنوب به حوزه شاهرود، از شرق به استان خراسان شمالی و از غرب به بخشی از حوزه بزرگ گرگانزود محدود می‌شود. به طور کلی زیر حوضه‌ها (سراخه)‌های حوزه آبخیز قراقلی از شرق به غرب عبارتند از: ساری سو (قناوه)، زاو، آجی سو (کال آجی)، دوغ (مادرسو)، اوغان، قلی تپه (ترکولو)، نرماب - چلی چای (چهل چای) و خرمارود (خرمالو). دراین حوضه ارتفاعات البرز بخش‌های جنوبی و شرقی آن را تشکیل داده که با توجه به پهنه‌ای کم چین خوردگی‌های البرز دراین ناحیه رودخانه‌های واقع دراین ارتفاعات فاقد زیر حوزه‌های آبخیز وسیع می‌باشند. حداقل و حداکثر ارتفاع حوزه به ترتیب ۲۸۸۹ متر و ۱۸ متر از سطح دریا است. نوع اقلیم منطقه در روش طبقه‌بندی دومارتزن اصلاح شده به صورت نیمه خشک تا خلیلی مرطوب نوع الف بوده و در روش سیلیانیفاین حوضه، تنها واحد اقلیم فرا خشک و خشک نمی‌باشد. بیشترین مقدار بارش در اوایل بهار و فصل پاییز و کمترین مقدار در اوایل بهار و فصل تابستان می‌باشد. دمای متوسط سالانه برابر 18.2°C درجه سانتی‌گراد و بارش متوسط سالانه آن برابر 556 میلی متر است. عده کاربری اراضی در حوضه مذکور کاربری‌های مرتع - بوتهزار، مخلوط جنگل‌های سوزنی برگ - پهن برگ و اراضی کشاورزی با کشت نامنظم و غیر ریدی به ترتیب با مساحت $35/079 \text{٪}$ ، $27/014 \text{٪}$ و $27/23 \text{٪}$ می‌باشد. حوزه مورد مطالعه شامل ۵۷ کلاس خاک می‌باشد. خاک غالب منطقه به صورت لومی، شنی - لومی و با قابلیت زهکشی تاحدودی آهسته می‌باشد و از جنوب به شمال از نظر هوموس و میزان باروری فقیر می‌شود.

معروفی مدل TAWS

مدلی است آب‌شناختی، در مقیاس حوزه آبخیز که توسط سازمان پژوهش‌های کشاورزی آمریکا توسعه داده شده است. فرایندهای آب‌شناختی اصلی شبیه‌سازی شده توسط مدل شامل تبخیر و تعرق، رواناب سطحی، ذوب برف، نفوذ سطحی، نفوذ عمیقی، جریان آب زیر زمینی و جریان زیر سطحی است. چرخه آب‌شناختی براین اساس در شکل ۲ نمایش داده شده است.

تعادل آبی هر واحد پاسخ آب‌شناختی (HRU) حوزه با چهار حجم ذخیره شامل (برف، نیميخ خاک ($0\text{ تا }2 \text{ متر}$)، آبخوان سطحی $2 \text{ تا }20 \text{ متر}$) و آبخوان عمیق (بیشتر از 20 متر) مشخص می‌گردد

2- Soil Conservation Service ,1972

3- Green and Ampt infiltration Method ,1910

4- Shuffled Complex Evolution-University of Arizona

1- Hydrologic Response Unit (HRU)

جدول ۱- مشخصات ایستگاه‌های مورد استفاده در منطقه مورد مطالعه

ایستگاه	طول جغرافیایی	عرض جغرافیایی	ارتفاع (متر)	نوع ایستگاه
مراوه‌تپه	۵۵° ۵۷'	۳۷° ۵۴'	۴۶۰	سینوپتیک
گنبد	۵۵° ۱۰'	۳۷° ۱۵'	۳۷	سینوپتیک
پارک ملی	۵۵° ۴۷'	۳۷° ۲۳'	۴۶۰	سینوپتیک
تمر	۵۵° ۳۰'	۳۷° ۳۰'	۱۳۲	سینوپتیک
چشمه خان	۵۵° ۰۷'	۳۷° ۱۸'	۱۲۵۰	سینوپتیک
رباط قره بیل	۵۶° ۱۸'	۳۷° ۲۱'	۱۴۵۰	سینوپتیک
لزوره	۵۵° ۲۲'	۳۷° ۱۴'	۱۰۰	سینوپتیک
ارازکوسه	۵۵° ۰۹'	۳۷° ۱۴'	۳۵	سینوپتیک
رامیان	۵۵° ۰۸'	۳۷° ۰۱'	۲۰۰	سینوپتیک
تنگه راه	۵۵° ۴۴'	۳۷° ۲۷'	۳۳۰	باران‌سنگی
قلی تپه	۵۵° ۲۵'	۳۷° ۱۳'	۲۵۰	سینوپتیک
نوده	۵۵° ۱۶'	۳۷° ۰۴'	۲۸۰	باران‌سنگی
قراقلی	۵۵° ۰۱'	۳۷° ۱۴'	۳۰	آب سنگی

خاک شناسی و اطلاعات هواشناسی است. داده‌های هواشناسی مورد نیاز مدل شامل بارندگی، کمینه و بیشینه دما، رطوبتی زمینی، تابش خورشیدی و سرعت باد بر پایه زمانی روزانه مربوط به ایستگاه‌های داخل و اطراف حوزه می‌باشد. مشخصات ایستگاه‌های مورد استفاده در این مطالعه در جدول ۱ نشان داده شده است. شبیه‌سازی در دو پایه زمانی روزانه و ماهانه طی سال‌های آماری ۱۹۸۷-۱۹۹۰ (سال آبی (۱۳۶۵-۶۶) تا (۱۳۶۸-۶۹)) انجام شد. برای سهولت شبیه‌سازی، کاهش ناهمگنی و افزایش دقت، بایستی حوزه به زیر حوزه و سپس به واحد پاسخ آب‌شناختی تقسیم شود [۲۳]. برای تعیین HRU از روش سطح آستانه حداقل برای حذف کاربری‌ها، خاک‌ها، و شبیه درون هر زیر حوضه استفاده گردید. در این صورت کلاس‌های شبیب، کاربری و خاکی که سطحی کمتر از سطح آستانه داشته باشند محبو می‌گردند و منطقه باقی مانده دوباره تقسیم بندی می‌شود به طوری که ۱۰۰ درصد مساحت زمین درون زیر حوضه مدل سازی گردد. در این بررسی آستانه‌های ۱۰٪ برای هر یک از کلاس‌های شبیب، خاک و کاربری اراضی در نظر گرفته شد به طوری که بیشترین جزئیات را در بر بگیرد. بر اساس مقدار آستانه لحاظ شده در این مطالعه، حوزه آبخیز قراقلی به ۲۷۸ واحد پاسخ آب‌شناختی تقسیم گردید که در درون ۳۷ زیر حوضه جای گرفته‌اند. متغیرهای مختلف برای هر HRU شبیه‌سازی شده، سپس برای کل زیر حوزه‌ها وزن دهنده شد و بعد از جمع بستن، مقدار کل برای آن حوزه محاسبه گردید [۵].

تحلیل حساسیت به صورت خودکار و در برنامه ParaSol انجام گرفت. اساس تحلیل حساسیت این برنامه بر اساس الگوریتم بهینه سازی SCE-UA و محاسبه دو نمایانه آماری t-stat و p-value

سازی جهانی و الگوریتم بهینه سازی توسعه یافته در دانشگاه آریزونا بنام الگوریتم تکامل تصادفی جوامع (SCE-UA) می‌باشد [۶]. تکامل تصادفی جوامع یا SCE یک الگوریتم بهینه سازی سراسری فرا ذهنی می‌باشد که به انتخاب اولیه‌ای از جمعیت نقاط توزیع شده تصادفی در سرتاسر فضای پارامتر ممکن نیاز دارد. جمعیت سپس به چندین جامعه^۱ تقسیم می‌شود، که هر کدام شامل $n+2n$ نقطه است، که n تعداد عامل‌های مورد نیاز برای واسنجی است. هر کدام ازین جوامع به طور مستقل در جهت توسعه کلی با استفاده از تکنیک تکامل رقابتی تکامل حاصل می‌نمایند. در پایان هر مرحله، کل مجموعه بدست آمده بر زده شده^۲ و با هم ترکیب می‌شوند. نقاط نسبت داده شده به جوامع جدید اطلاعاتی را شکل می‌دهد که به وسیله جوامع تقسیم شده قبلی بدست آمده است. مراحل ارزیابی و ادغام تا زمانی ادامه می‌یابد که مشخص شود معیار همگرایی بدست آمده است. فرایند تکامل رقابتی و بر زدن جوامع اصلی در الگوریتم SCE کمک می‌کنند تا مطمئن سازد که اطلاعات مجازی بدست آمده توسط هر جامعه با کل جامعه به اشتراک گذاشته شده است [۱۲].

جمع آوری اطلاعات مورد نیاز برای مدل سازی

داده‌های مورد نیاز برای شبیه‌سازی توسط مدل SWAT شامل مدل رقومی ارتفاع (DEM)، نقشه شبکه زهکشی، کاربری اراضی، داده‌های

1- Population

2- Comlex

3- Shuffling

R-factor عبارت است از متوسط ضخامت باند ۹۵PPU که بر انحراف معیار داده‌اندازه‌گیری شده تقسیم می‌شود. به طور کلی هر چقدر مقدار p-factor به ۱۰۰ درصد و R-factor به صفر نزدیکتر باشد شبیه‌سازی با دقت بیشتری انجام گرفته است [۲۴، ۲۵، ۳۱]. بعد از اجرای تحلیل حساسیت، تعداد ۱۷ عامل حساس در شبیه‌سازی نهایی طی دوره واسنجی ۱۹۸۷-۱۹۹۰ (سال آبی ۱۳۶۵-۶۶) و اعتبارسنجی ۱۹۹۱-۱۹۹۲ (سال‌های آبی ۱۳۶۹-۷۰ تا ۱۳۷۰-۷۱) و در دو پایه زمانی روزانه و ماهانه مورد استفاده قرار گرفتند. همچنین به منظور ارزیابی کارایی مدل، نمایانه ارزیابی دقت شبیه‌سازی بر مبنای معیارهای ارایه شده در جدول ۳ می‌باشد.

می‌باشد. بر اساس مطالعات مختلف صورت گرفته در این زمینه از جمله پژوهش‌های اتین و همکاران [۷] و رابرт و همکاران [۲۶] در تحقیق حاضر تعداد ۲۷ عامل مدل سوات برای تحلیل حساسیت انتخاب شد. در جدول ۲ عامل‌های مورد استفاده برای تحلیل حساسیت و دامنه تغییرات آنها ارائه شده است. انتخاب عامل‌های مهم و تاثیر گذار و دامنه تغییرات آنها بر اساس پیش فرض مدل و بر اساس مطالعات صورت گرفته در این زمینه [۲۵ و ۲۶] و برای حوزه آبخیز قزاقلی تنظیم گردید.

درجه عدم قطعیت توسط دو عامل P-factor و R-factor محاسبه گردید. عبارت P-factor است درصد داده‌های مشاهده‌ای پوشش داده شده مساوی باند برآورد عدم قطعیت ۹۵ درصد (ppu^{۹۵}) و

جدول ۲- عامل‌های مورد استفاده برای تحلیل حساسیت و دامنه تغییرات آنها

دامنه تغییرات	توضیحات	نام پارامتر*
۲۰ تا ۲۰۰	شماره منحنی SCS اولیه برای شرایط رطوبتی متوسط (II) هدایت هیدرولیکی اشاع لایه‌های خاک	r_CN ^۲ (r_SOL_K)
۱۵۰ تا ۵۰۰	هدایت هیدرولیکی موثر بستر رودخانه اصلی ضریب مانینگ رودخانه اصلی	v_CH_K ^۲ v_CH_N ^۲
۰/۷ تا ۱	عامل آلفا جریان پایه برای ذخیره کناری	v_ALPHA_BNK
۱۰ تا ۱۵۰	متوسط طول شب زمین در هر HRU	r_SLSUBBSN
۰ تا ۵۰۰۰	حداقل عمق مورد نیاز سطح ایستابی در سفره‌های کم عمق برای وقوع جریان بازگشتی نرخ تغییرات دما با ارتفاع در هر زیر حوزه	v_GWQMN v_TLAPS
۰ تا ۵۰	عامل ذوب برف در تاریخ ۲۱ ژوئن (اول تیر ماه)	v_SMFMX
۰ تا ۱۰	ضریب بازتاب لایه‌های خاک (آلبیدو)	(r_SOL_ALB)
۰/۲۵ تا ۰/۵۰	زمان تأخیر انتقال آب از آخرین لایه خاک به سطح آب زیرزمینی	v_GW_DELAY
۰ تا ۱	ظرفیت آب قابل دسترس لایه‌های خاک	(r_SOL_AWC)
۰/۰۱ تا ۱/۰	فاکتور جبران جذب آب توسط گیاه	r_EPCO
۰/۰ تا ۱/۵	ضریب تعیین نفوذ به سفره آب زیرزمینی عمیق یا صعود موینگی از سفره آب کم عمق	v_GW_REVAP
۰ تا ۱	عامل آلفا در جریان پایه	v_ALPHA_BF
+۵ تا -۵	متوسط دمای هوا برای تبدیل باران به برف (C°)	v_SFTMP
۰ تا ۱۸۰	زمان تأخیر رسیدن جریان‌های زیر سطحی به رودخانه در هر HRU	r_LAT_TTIME
۰ تا ۱۰	عامل ذوب برف در تاریخ ۲۱ دسامبر (اول دی ماه)	v_SMFMN
۰/۰۱ تا ۱	عامل جبران کننده تأخیر از خاک	r_ESCO
۱/۱ تا ۲/۵	چگالی ویژه ظاهری لایه‌های خاک	(r_SOL_BD)
+۵ تا -۵	دمای پایه ذوب توده برف (C°)	v_SMTMP
۰ تا ۱۰۰	حداکثر آب نگه داشته شده توسط پوشش گیاهی	v_CANMX
۰/۶ تا ۱	شب متوسط زمین در هر HRU	(r_SLOPE)
۱ تا ۲۴	ضریب تأخیر رواناب سطحی	v_SURLAG
۰ تا ۱	درصد تغذیه سفره عمیق از سفره کم عمق یا غیر محصور	v_RCHRG_DP
۰ تا ۱	عامل تأخیر دمای فشرده سازی برف	v_TIMP
۰ تا ۵۰۰	حداقل عمق سطح ایستابی در سفره‌های کم عمق برای صعود موینگی یا تغذیه سفره عمیق	v_REVAPMN

* به معنی تغییر عامل با جایگزین کردن مقادیر بهینه پارامتر با مقادیر پیش فرض مدل و به معنی ضرب کردن مقادیر بهینه عامل در (۱+مقدار پیش فرض مدل) می‌باشد.

جدول ۳- معیارهای اندازه‌گیری دقت شبیه‌سازی

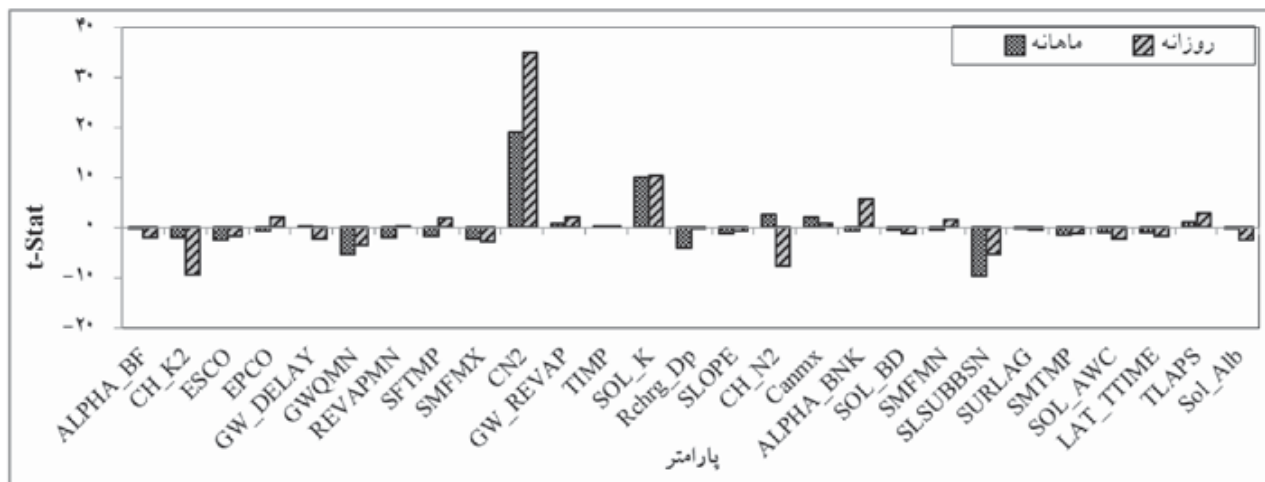
معیار	روش محاسبه
ضریب تعیین	$R^2 = \frac{\left[\sum_{i=1}^n (Q_i^{sim} - Q_i^{simav})(Q_i^{obs} - Q_i^{obsav}) \right]^2}{\sum_{i=1}^n (Q_i^{sim} - Q_i^{simav})^2 \sum_{i=1}^n (Q_i^{obs} - Q_i^{obsav})^2}$
ضریب کارایی نش-ساتکلیف	$E_{NS} = 1 - \frac{\sum_{i=1}^n (Q_i^{sim} - Q_i^{obs})^2}{\sum_{i=1}^n (Q_i^{obs} - Q_i^{obsav})^2}$
ریشه دوم میانگین توان دوم خطای	$RMSE = \sqrt{\frac{1}{n} \sum_{i=1}^n (Q_i^{sim} - Q_i^{obs})^2}$

و GWQMN حساس‌ترین عامل‌ها می‌باشند. تحلیل حساسیت بر اساس دو نمایانه p-value و t-stat در شکل‌های ۳ و ۴ نمایش داده شده است. حساسیت نسبی ارائه شده توسط t-stat بیانگر تغییرات متوسط تابع هدف در نتیجه تغییر عامل‌های مختلف می‌باشد (دراین مطالعه ضریب نش-ساتکلیف به عنوان تابع هدف در نظر گرفته شده است). دراین صورت ضمن تغییر در عامل مورد نظر عامل‌های دیگر ثابت نگه داشته شده و تاثیر آن عامل بر خروجی مدل مورد بررسی قرار می‌گیرد. این کار برای تمامی عامل‌ها به صورت خودکار انجام می‌گیرد و عامل‌های مختلف بر اساس درجه حساسیت‌شان مرتب می‌شوند. این روش، حساسیت نسبی را بر پایه تقریب خطی ارائه می‌دهد. هر چه مقدار قدر مطلق t-stat یک عاملی بزرگ‌تر باشد بیانگر درجه حساسیت بیشتر آن عامل می‌باشد. مقدار P-value نیز نشان‌دهنده درجه حساسیت است. هر چه مقدار آن به عدد صفر نزدیک‌تر باشد بیانگر حساسیت بیشتر عامل مربوطه می‌باشد [۹ و ۱۴].

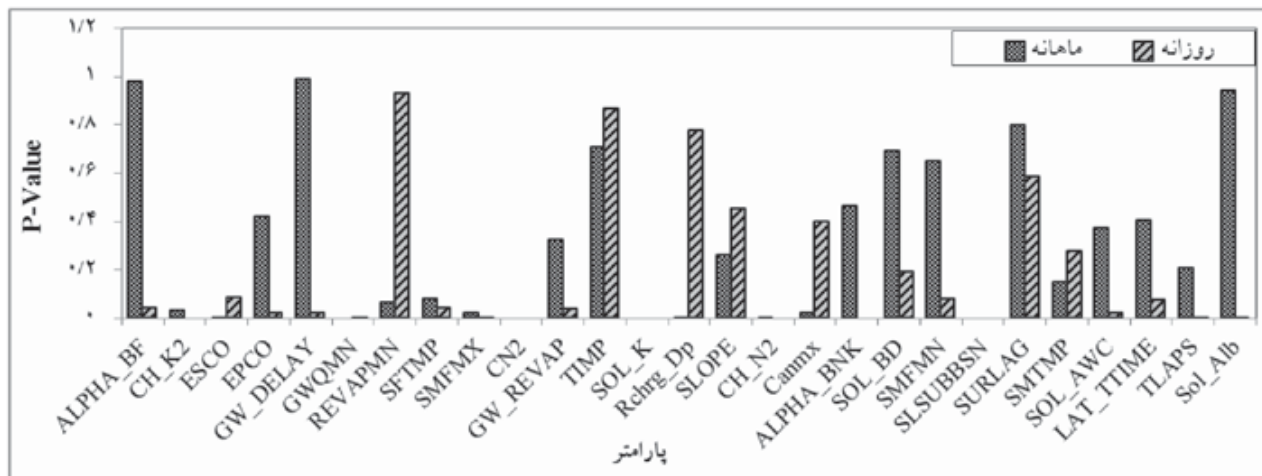
که $Q_i^{sim} =$ مقدار برآورده‌ی برای نقطه‌نام، $Q_i^{simav} =$ مقدار میانگین دبی برآورده‌ی $Q_i^{obs} =$ مقدار مشاهده‌ای برای نقطه‌نام، Q_i^{obsav} برابر میانگین دبی مشاهداتی و $n =$ تعداد داده‌ها می‌باشد. بعد از انجام واسنحی و اعتبارسنجی و اطمینان از دقت مدل، مؤلفه‌های مختلف چرخه آب‌شناختی استخراج و مورد تجزیه و تحلیل قرار گرفت. بدیهی است شناخت مقادیر مختلف این مؤلفه‌ها برای مدیریت بهینه منابع آبی حوزه بسیار کارآمد است.

نتایج

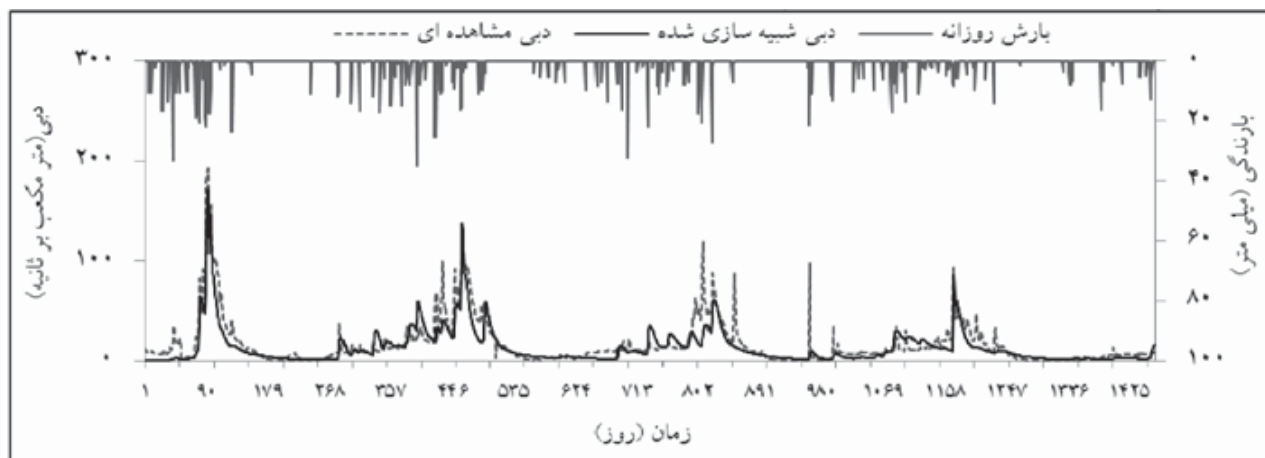
نتایج تحلیل حساسیت، واسنحی و اعتبارسنجی: بعد از تحلیل حساسیت پارامترها مشخص گردید که در طی هر دو دوره روزانه و ماهانه ۲۷ عامل اولیه بعنوان حساس‌ترین عامل‌های مدل هستند که در شبیه‌سازی نهایی نیز استفاده شدند. از بین این عامل‌ها در پایه زمانی روزانه، عامل‌های CN2، CH_N2، SOL_K، SOL_BD، SLSUBBSN و SOL_K، SLSUBBSN در پایه زمانی ماهانه عامل‌های CN2، CH_N2، ALPHA_BK، SMFMN، SURLAG، SMTMP، LAT_AWC، TLAPS و Sol_AlB هستند.



شکل ۳- تحلیل حساسیت عامل‌ها بر اساس نمایانه t-stat در پایه زمانی روزانه و ماهانه



شکل ۴- تحلیل حساسیت عامل‌ها بر اساس نمایانه p -value در پایه زمانی روزانه و ماهانه

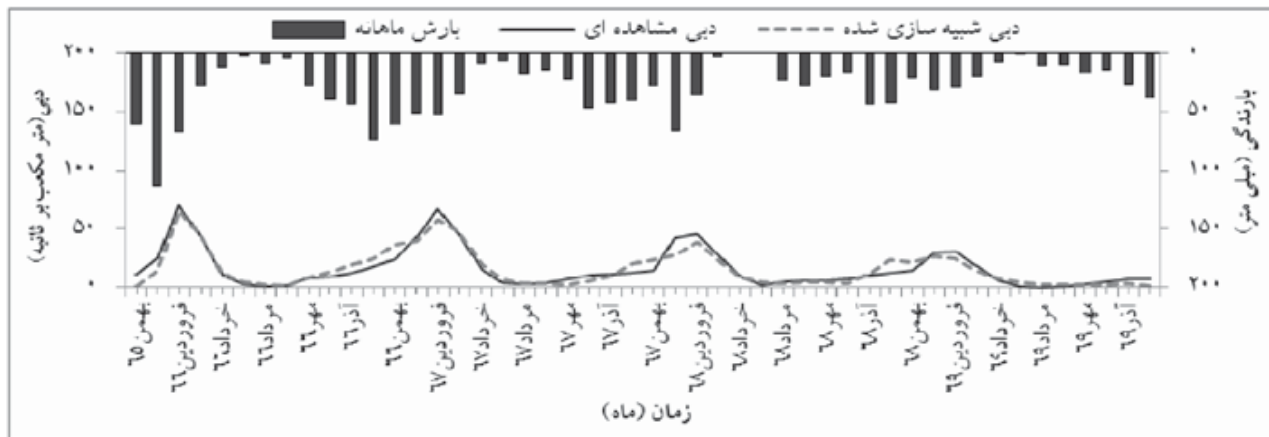


شکل ۵- مقادیر روزانه دبی مشاهده‌ای و شبیه‌سازی شده در مرحله واسنجی

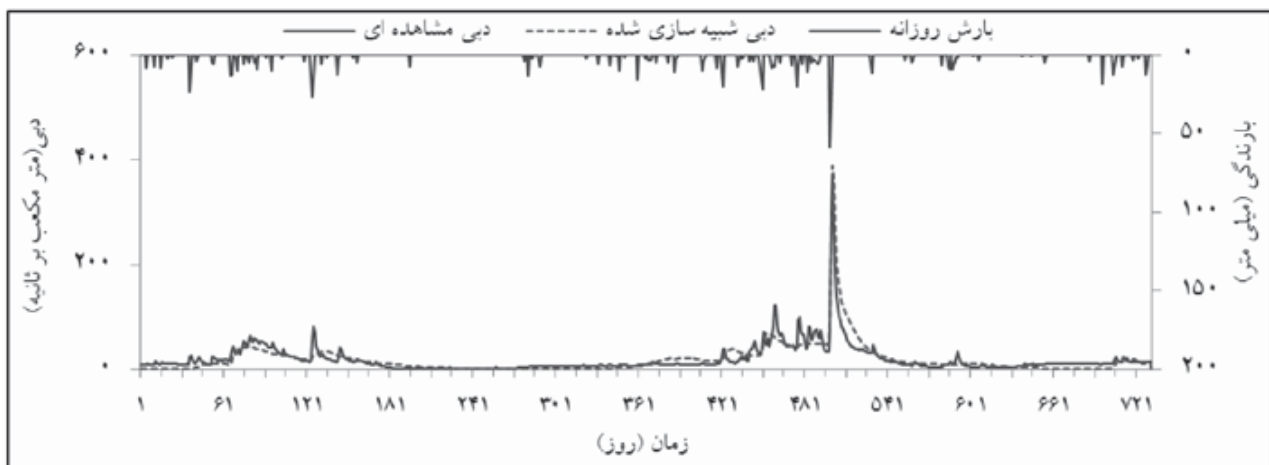
۱۷/۱۳ مترمکعب بر ثانیه بوده است. بعد از واسنجی مدل و بهینه سازی مقادیر ۱۷ عامل حساس، مدل واسنجی شده برای یک دوره آماری دو ساله ۱۹۹۱-۱۹۹۲ (سال‌های آبی ۱۳۶۹-۷۰ تا ۱۳۷۰-۷۱) به عنوان دوره اعتبارسنجی، اجرا شد. نتایج شبیه‌سازی برای دوره اعتبارسنجی در شکلهای ۷ و ۸ نشان داده شده است. همچنین در شکل‌های ۹ الف، ب، ج و د نیز پراکنش نقطه‌ای مقادیر مشاهده‌ای و برآورده نسبت به خط برازش‌ایده آل در دوره‌های واسنجی و صحت سنجی مدل در هر دو دوره روزانه و ماهانه ارایه شده است. برآورد مؤلفه‌های آب‌شناختی: بررسی مؤلفه‌های مختلف چرخه آب‌شناختی در طراحی و مدیریت بهینه منابع آبی ابزاری سودمند است [۱۳] و در بررسی دراز مدت منابع آبی یک منطقه، نقش اساسی ایفا می‌کند [۳۴]. همچنین نتایج آن برای تهیه نقشه‌های توزیع مؤلفه‌های بیلان آبی مورد استفاده قرار می‌گیرد [۱۰]. در پژوهش حاضر، مؤلفه‌های معادله بیلان آبی شامل تبخیر و تعرق واقعی، بارش، نفوذ، آب گذری و رواناب حوزه آبخیز قزاقلی محاسبه و مورد بررسی قرار گرفت. نسبت‌های مختلف مؤلفه‌های

بر اساس مطالعات سانگجون و همکاران [۲۷] و ژانگ و همکاران [۳۶] دو سوم از داده‌های موجود برای واسنجی و یک سوم برای اعتبارسنجی استفاده شد. بنابراین بعد از شناسایی عامل‌های حساس، واسنجی مدل با استفاده از الگوریتم بهینه سازی فراگیر SCE-UA بر روی عامل‌های حساس انجام شد. نتایج واسنجی براین اساس در اشکال ۵ و ۶ در پایه زمانی روزانه و ماهانه نشان داده شده است. همچنین در جدول ۴، نمایانه‌های ارزیابی دقت مدل در شبیه‌سازی دبی روزانه و ماهانه حوزه آبخیز قزاقلی بر مبنای معیارهای ارائه شده در جدول ۳ نشان داده شده است.

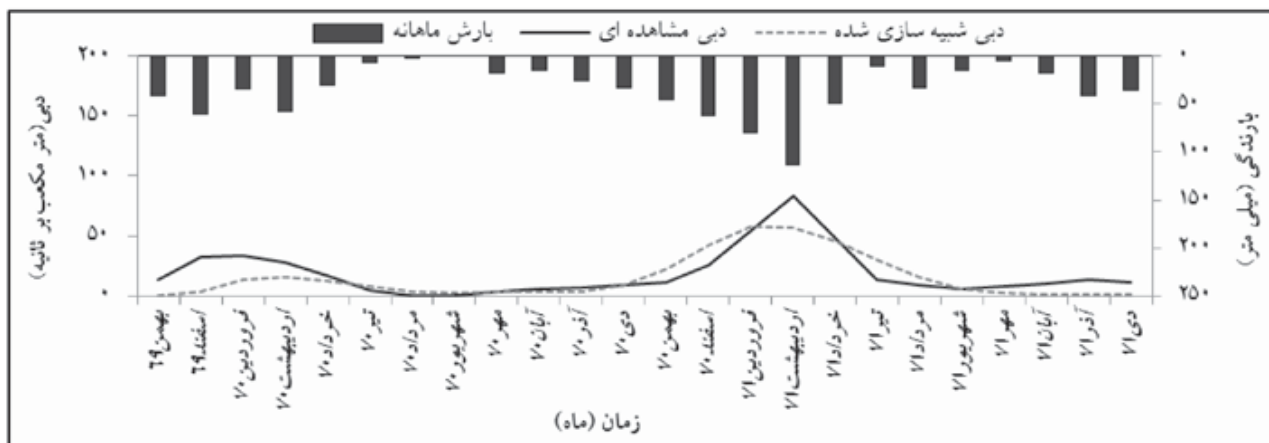
عملیات شبیه‌سازی در دوره واسنجی مدل برای چهار سال از کل دوره آماری انجام شد و مقادیر بهینه عامل‌ها درایستگاه آب‌سنجی قزاقلی واقع در خروجی حوزه آبخیز قزاقلی محاسبه گردید. طبق جدول ۴ مقادیر بدست آمده برای معیارهای ارزیابی R^* ، E_{NS} و RMSE در مرحله واسنجی مدل در پایه زمانی روزانه به ترتیب برابر با ۸۳ درصد، ۷۸ درصد و ۱۳/۰۶ مترمکعب بر ثانیه و در پایه زمانی ماهانه‌این معیارها به ترتیب ۸۶ درصد، ۸۴ درصد و



شکل ۶- مقادیر دبی ماهانه مشاهده‌ای و شبیه‌سازی شده در مرحله واسنجی



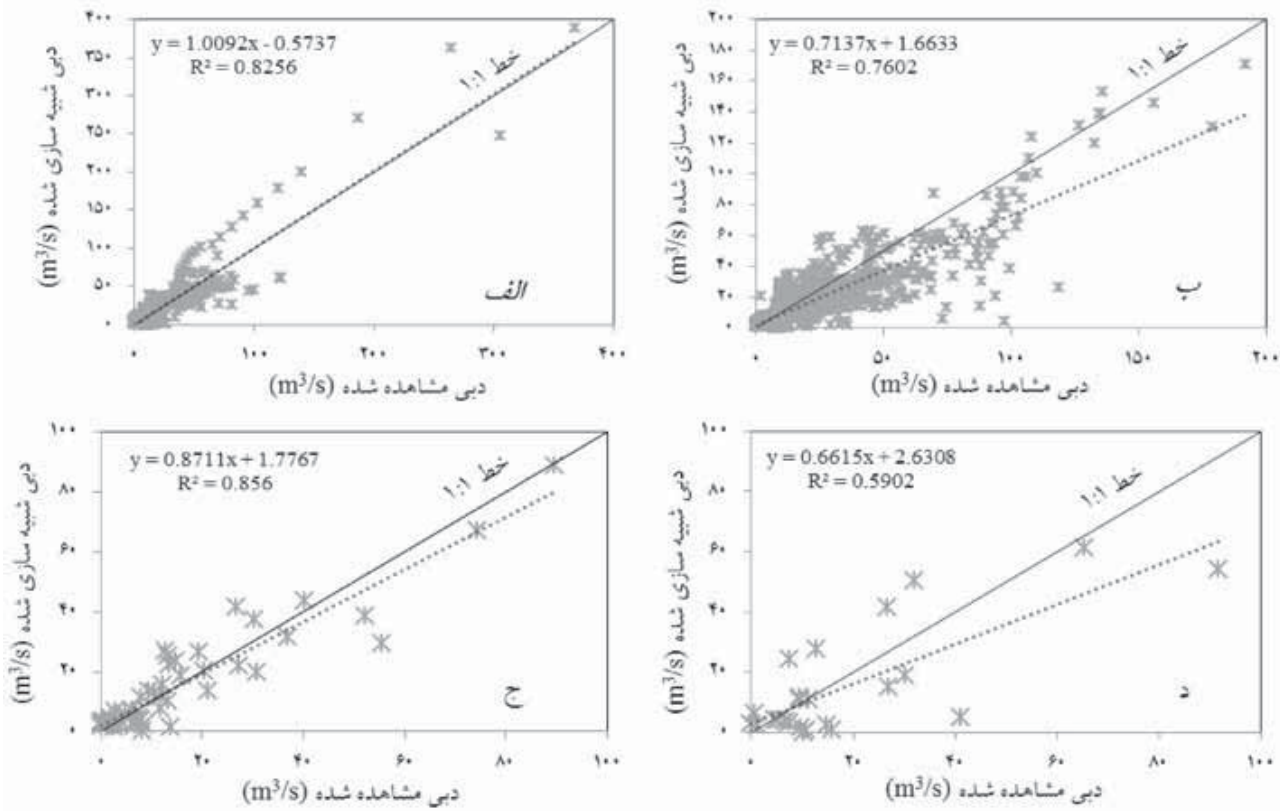
شکل ۷- مقادیر دبی مشاهده‌ای و شبیه‌سازی شده حوزه قزاقلی در مرحله صحت سنجی مدل در پایه زمانی روزانه



شکل ۸- مقادیر دبی مشاهده‌ای و شبیه‌سازی شده حوزه قزاقلی در مرحله صحت سنجی مدل در پایه زمانی ماهانه

بخش‌های مختلف چرخه آب‌شناختی حوزه آبخیز مورد مطالعه با توجه به داده‌های کاربری، خاک و دیگر اطلاعات مورد استفاده قبل و بعد از واسنجی مدل نشان داده شده است. مؤلفه‌های اصلی منابع

چرخه آب‌شناختی برای کل دوره واسنجی و اعتبارسنجی در جدول ۵ آرایه شده است. همچنین در جدول ۶ مؤلفه‌های مختلف چرخه آب‌شناختی، مقدار رواناب شبیه‌سازی شده و همچنین بیلان آبی



شکل ۹- پراکنش نقطه‌ای مقادیر مشاهده‌ای و برآورده‌ی دبی روزانه در دوره‌های واسنجی (الف) و صحت سنجی (ب) و دبی ماهانه در دوره‌های واسنجی (ج) و صحت سنجی (د)

بحث و نتیجه گیری

بر اساس پژوهش‌های لی یو (۲۰۰۹) استفاده از روش ParaSol در قالب برنامه SWAT CUP برای بررسی حساسیت عامل‌ها، واسنجی مدل و شبیه‌سازی بسیار کارامد است به طوری که استفاده از این روش نسبت به روش دستی سریع‌تر بوده و باعث افزایش دقیق مدل از طریق کاهش عدم قطعیت می‌گردد [۱۷]. نتایج نمایانه t-stat و p-value در تحلیل حساسیت عامل‌ها نشان دادند که ۱۷ عامل از ۲۷ عامل انتخابی اولیه، حساس‌تر بوده و مقدار بهینه عامل‌های حساس در شبیه‌سازی دبی روزانه و ماهانه مورد استفاده قرار گرفتند. به طور کلی حساس‌ترین عامل در حوزه فرآقلی در هر دو پایه زمانی روزانه و ماهانه، شماره منحنی رواناب می‌باشد که با مطالعات مانوج ژا [۱۹]، اندومبا و بیرهانو [۲۱] و عمانی و همکاران [۲] در این زمینه مطابقت دارد. حساسیت بالای این عامل در حوزه فرآقلی نشان دهنده نقش مهم کاربری و خاک در مقدار رواناب خروجی از حوزه است. به طور کلی افزایش مقدار CN2 در حوزه فرآقلی باعث افزایش حجم رواناب می‌شود که به نوبه خود باعث تلفات بیشتر آب از طریق رواناب، کاهش تغذیه منابع آب زیرزمینی

آبی شامل آب آبی (رواناب سطحی، تغذیه آبخوان)، آب سبز (تبخیر و تعرق واقعی) و ذخیره آب سبز (آبی که به صورت رطوبت در خاک ذخیره می‌شود) می‌باشد. به طور کلی در معادله بیلان آبی، آب از طریق بارندگی وارد حوزه شده و تلفات آب ناشی از فرایندهای تبخیر و تعرق، رواناب سطحی، نفوذپذیری است.

همچنین در شکل‌های ۱۰ و ۱۱ مهم‌ترین مؤلفه‌های چرخه آب‌شناختی شامل بارش، رواناب سطحی، جریان زیر قشری، تبخیر و تعرق و مقادیر آب خالص (که از تفاضل جریان زیر قشری، آب زیر زمینی و رواناب سطحی از تلفات آب در طول مسیر و آب ذخیره شده در تالاب، دریاچه و سد بدست می‌آید) حوزه قبل از فرایند واسنجی و بعد از واسنجی در پایه زمانی ماهانه و در کل دوره آماری نمایش داده است. بدینهی است که بعد از واسنجی مدل با بهینه سازی مقادیر مختلف عامل‌ها برای حوزه مذکور، مقادیر مختلف مؤلفه‌های چرخه‌ی آب‌شناختی نیز تغییر می‌کند. شناخت مؤلفه‌های اصلی منابع آب هم از نظر مکانی (در مقیاس کلی حوزه) و هم در مقیاس زمانی (بر پایه زمانی ماهانه) اطلاعات مفیدی را برای مدیریت بهینه منابع آبی حوزه در مقیاس‌های زمانی مختلف فراهم می‌سازد.

جدول ۴- ضرایب آماری ارزیابی دقت مدل در شبیه‌سازی رواناب روزانه و ماهانه

پایه زمانی ماهانه		پایه زمانی روزانه		شاخص آماری
صحت سنجی واسنجی	پایه زمانی ماهانه	صحت سنجی واسنجی	پایه زمانی روزانه	
۵۹	۸۶	۷۶	۸۳	(%) R ^r
۵۵	۸۴	۷۴	۷۸	(%) E _{NS}
۱۴/۱۵	۱۷/۱۳	۱۱/۲۷	۱۳/۰۶	(m ^r /s) RMSE
۷۱	۷۹	۲۱	۰/۳۵	فکتور-P (%)
۱/۶	۰/۹۴	۰/۱۹	۰/۴۷	فکتور-R

جدول ۵- نسبت‌های مختلف مؤلفه‌های چرخه آب‌شناختی

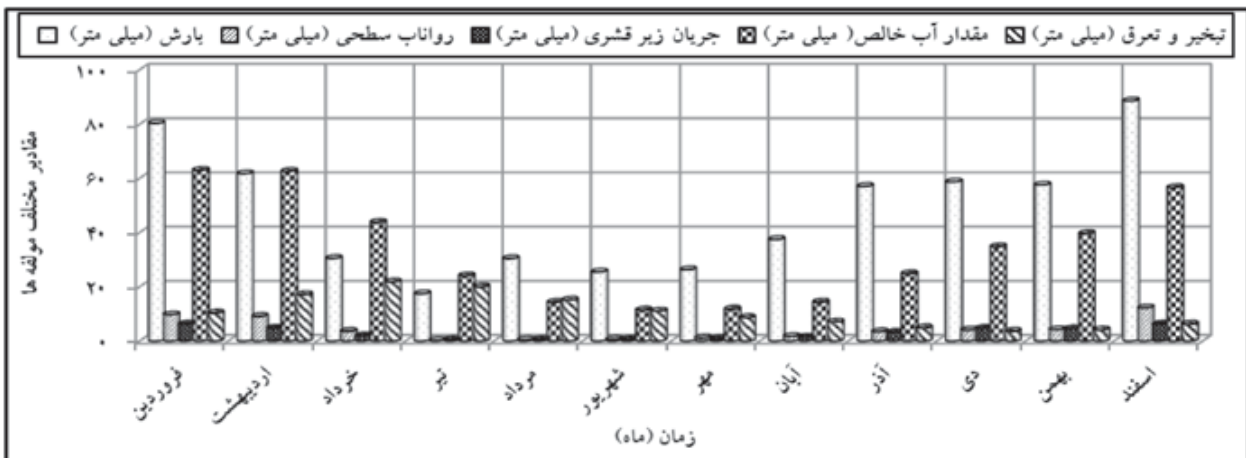
نسبت‌های مؤلفه‌ها	اجرای اولیه مدل	واسنجی
بارندگی / جریان رودخانه	۰/۲۹	۰/۷۰
کل جریان / جریان آب پایه	۰/۳۲	۰/۸۷
کل جریان / رواناب سطحی	۰/۶۸	۰/۱۳
بارندگی / آب گذری	۰/۲۹	۰/۰۹
بارندگی / تغذیه آبخوان عمیق	۰/۲۰	۰/۰۳
بارندگی / تبخیر و تعرق واقعی	۰/۳۴	۰/۲۳

جدول ۶- مقادیر مختلف مؤلفه‌های چرخه آب‌شناختی قبل و بعد از فرایند واسنجی مدل

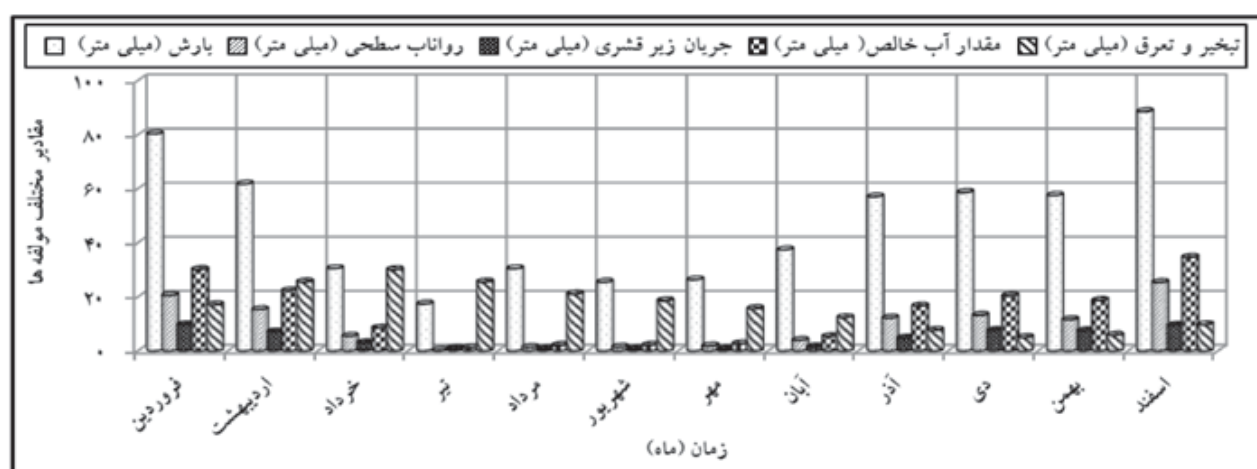
واسنجی	اجرای اولیه	مؤلفه‌های چرخه آب‌شناختی
۵۷۱/۳	۵۷۱/۳	بارندگی (mm)
۱۹۳/۹	۱۳۰	تبخیر و تعرق واقعی (mm)
۱۶۷/۴۹	۲۳۹/۶۶	آب گذری به آبخوان سطحی (mm)
۱۱۵/۰۷	۱۶۹۸	تغذیه آبخوان عمیق (mm)
۲۵/۷۶	۴/۵۵	آب بازگشتی از آبخوان سطحی (mm)
۱۱۲/۰۳	۵۰/۳	رواناب سطحی (mm)
۵۳/۶۱	۳۵/۷۱	جریان زیر قشری (mm)
۳۹/۶۶	۳۱۵/۶۱	جریان بازگشتی به آب‌های آزاد (mm)

شیب زمین در هر HRU به علت شیب بالا در بیشتر موارد، از جمله مهمترین عامل‌ها می‌باشد. GWQMN از تأثیرگذارترین عامل‌ها در جریان آب زیر زمینی می‌باشد. زمانی جریان آب زیر زمینی اتفاق می‌افتد که عمق آب در آبخوان سطحی مساوی یا بیشتر از GWQMN باشد. در نهایت واسنجی مدل در طی سال‌های ۱۹۹۲-۱۹۸۷ (سال‌های آبی (۶۶-۱۳۶۵) تا (۱۳۷۰-۷۱)) ضرایب همبستگی (R^r) و ضریب راندمان نش-ساتکلیف را در طی کل دوره واسنجی و اعتبارسنجی در پایه زمانی روزانه و ماهانه بیش از ۵۹ درصد و ۵۵ درصد نشان می‌دهد. اگرچه قاعده خاصی برای حد پایین این ضرایب

و کاهش آب پایه رودخانه‌ها می‌شود [۱۶]. از عامل‌های موثر دیگر، در پایه زمانی روزانه عامل‌های CH-N_۲ و SOL-K، SOL-K_۲ و در پایه زمانی ماهانه عامل‌های SOL-K، SLSUBBSN و GWQMN می‌باشند. CH_N_۲ عاملی تأثیرگذار بر مقدار سرعت جریان است که در روندیابی جریان آبراهه، عاملی مهم می‌باشد و برای محاسبه زمان تمرکز حوزه مورد استفاده قرار می‌گیرد. CH-K_۲. نشان‌دهنده انشعابات فرعی فصلی حوزه موردن مطالعه است که بر جریان اصلی رودخانه حوزه موثر می‌باشد. SOL_K نشان‌دهنده تعادل آبی بین شیب هیدرولیکی و جریان آب است و SLSUBBSN یا متوسط طول



شکل ۱۰- نمایش ستونی مؤلفه‌های چرخه آب‌شناختی در اجرای اولیه مدل



شکل ۱۱- نمایش ستونی مؤلفه‌های چرخه آب‌شناختی بعد از واسنجی مدل

ولی مقدار کلی رواناب سطحی سهم بیشتری از جریان کلی را به خود اختصاص داد. همچنین تلفات ناشی از آب گذری به آبخوان عمیق و تبخیر و تعرق افزایش پیدا نمود. بررسی‌های انجام گرفته نشان می‌دهد که توزیع مؤلفه‌های مختلف چرخه آب‌شناختی از یک توزیع دو نمایی تبعیت می‌کند به طوری که مقداری اوج بارندگی در ماههای اسفند، فروردین و اردیبهشت اتفاق می‌افتد ولی در این ماهها بر عکس، کمترین مقدار تبخیر و تعرق واقعی را شاهدیم. تحلیل آب‌شناختی تعادل آبی حوزه آبخیز قزاقلی نشان داد که آب پایه جز مهمی از دبی کل را شامل می‌شود که بر روی دبی رودخانه موثر است [۲۹]. مقدارهای متغیر در اجرای اولیه مدل و واسنجی مدل به ترتیب ۸۷ و ۳۲ درصد جریان کل می‌باشد. به طوری که در نظر گرفتن مقدار بالای آب پایه در اجرای اولیه مدل یکی از دلایل برآوردهای زیاد رواناب شبیه‌سازی شده در برابر مقدار مشاهدهای توسط مدل می‌باشد. در اجرای اولیه مدل جریان رودخانه در حدود ۷۰٪ بارندگی در نظر گرفته شده است. که این مقدار بعد از واسنجی

وجود ندارد ولی سانتی و همکاران [۲۸] برای مدل‌های آب‌شناختی، مقدار ۵۰٪ را برای ضریب R² قابل قبول می‌دانند. همچنین بر اساس پژوهش‌های گاسمن و همکاران [۱۱] و همچنین سانتی و همکاران [۲۸] مقدادر بزرگتر از ۵۰٪ را مقدار قابل قبول برای ضریب نش-SATکلیف در مقیاس زمانی ماهانه در مدل SWAT در نظر گرفتند. مقدادر پایین ضریب RMSE در طی دوره واسنجی و اعتبارسنجی نشان دهنده قابلیت بالای مدل در شبیه‌سازی رواناب روزانه و ماهانه است. به طور کلی مقدادر بالای فاکتور P-factor و مقدادر پایین R-factor در طی دوره واسنجی نسبت به دوره اعتبارسنجی و پایه زمانی ماهانه نسبت به روزانه نشان دهنده دقت بالاتر مدل است. به طوری که اکثر داده‌های مشاهدهای در دوره واسنجی و پایه زمانی ماهانه در سطح اطمینان ۹۵ درصد قرار گرفتند. بعد از واسنجی، مؤلفه‌های آب‌شناختی حوزه در مدل تا حدود زیادی اصلاح شدند. همان طوری که در قبل ذکر گردید، در مرحله واسنجی مدل، جریان رودخانه و جریان پایه‌ای و آب گذری کاهش چشمگیری پیدا نمود

- 3- Anwar, N.S. 2010. Simulated impact of land use dynamics on hydrology during a 20-year-Preiod of deles basin in Ethiopia. TRITA-LWR Master Thesis: 1-33
- 4- Birhanu, B.Z. Ndomba, P.M and Mtalo, F.W. 2007. Application of SWAT for Mountainous Catchment: FWU Water Resources Publications. Volume No: 06/2007.ISSN No. 1613-1045: 182-187
- 5- Di Luzio, M. and Arnold, J.G. 2004. Formulation of a hybrid calibration approach for a physically based distributed model with NEXRAD data input. *J. Hydrol.* 298(1-4): 136-154
- 6- Duan, Q. Sorooshian, S. and Gupta, V.K. 1994. Optimal use of the SCE-UA global optimization method for calibrating watershed models, *Journal of Hydrology*: 265-284.
- 7- Etienne, L. Anctil, F. Van Grienseven, A. and Beauchamp, N. 2008. Evaluation of streamflow simulation by SWAT model for two small watersheds under snowmelt and rainfall. *Journal des Sciences Hydrologiques*. 53(5): 961-976.
- 8- Fanghua, H. Zhang, X. Cheng, H. Liu, C. and Yang, Z. 2004. Runoff and sediment yield simulation in a large basin using GIS and a distributed hydrological model. *GIS and Remote Sensing in Hydrology*. IAHS Publ. 289: 157-166
- 9- Faramarzi, M. 2011. Assessment of Regional water endowments, Crop water productivity, and implication for intracountry virtual water trade in Iran. Dissertation m.sc.161..(In persian)
- 10- Fahrer, N. Eckhardt, K. Haverkamp, S. and Frede, H.G. 1999. Effects of land use change on the water balance of a rural watershed in a peripheral region. *Journal OF Zeitschrift für Kulturtechnik und Landentwicklung*: 202-206
- 11- Gassman, PW. Reyes M.R. Green, C.H. and Arnold, J.G. 2007. The Soil and Water Assessment Tool: Historical Development, Applications, and Future Research Directions. *Trans. ASABE*, 50(4): 1211-1250
- 12- Ghaderei, J. Samanei, M. Eslamei, H.R and Saghafiean, B. 2006. Automatic calibration Rainfall - Runoff model using optimization SCE Method. *Journal of Research in Water Resources*, 2(2): 1-13.(In persian)
- 13- Gosain, A. K., Rao, S. Srinivasan, R. and Gopal Reddy, N. 2005. Return-flow assessment for irrigation command in the Palleru river basin using SWAT model. *Journal of Hydrological Processes*. 19: 673–682

به ۲۹٪ تقلیل پیدا نمود. به طور کلی مقادیر اوج رواناب شبیه‌سازی شده و مشاهدهای با یکدیگر اختلاف زمانی دارند که این اختلاف در برخی از ماههای سال به ویژه در فصل بهار بیشتر می‌باشد. از دلایل ضعف مدل در شبیه‌سازی دبی جریان می‌توان به شبیه‌سازی ضعیف ذوب برف در مناطق کوهستانی حوزه، عدم سازگاری مدل در انتقال جریان در لایه‌های بین زده و اشباع اشاره نمود [۲۴ و ۲۳]. نتایج این پژوهش نشان می‌دهد که عمدۀ تلفات آبی حوزه ناشی از تبخیر و تعرق و رواناب سطحی می‌باشد. بنابراین اقدامات جدی در راستای استفاده بهینه از منابع آب و جلوگیری از هدر رفت آن از طریق تبخیر و تعرق و کنترل رواناب سطحی ضروری به نظر می‌رسد. در حوزه مورد مطالعه آب نفوذ یافته به حاک به دلیل بافت ریز دانه و لسی غالب حوزه ناچیز است که بیشتر آن به آبخوان عمیق رفته و از دسترس خارج می‌شود که با توجه به نوع فعالیت اقتصادی غالب منطقه که به صورت کشاورزی است تمدیدات لازم برای حفظ آب در آبخوان سطحی و یا استخراج آب از آبخوان عمیق امری ضروری به نظر می‌رسد. تغذیه بالای آب از آبخوان سطحی به آبخوان عمیق باعث بهم خوردن تعادل آبی حوزه شده و مشکلاتی را در کشاورزی منطقه ایجاد می‌کند. در این صورت، اجرای اقدامات اصلاحی در منطقه، از قبیل ایجاد سدهای زیر زمینی برای کاهش تبخیر و یا پخش سیالب (در مناطقی با پوشش خاکی و شبی مناسب) برای جلوگیری از هدر رفت سیالب از طریق تغذیه بیشتر سفره‌های آبی مطرح می‌گردد. مقدار تبخیر و تعرق در اجرای اولیه مدل و واسنجی به ترتیب ۲۳٪ و ۳۴٪ از بارندگی را به خود اختصاص می‌دهد. این مقدار نشان دهنده نقش مهم عامل‌های تبخیر و تعرق در شبیه‌سازی درست فرایند آب‌شناختی حوزه می‌باشد. مقادیر مربوط به این عامل‌ها در دوره واسنجی تا حدود زیادی اصلاح گردید. نتایج این بررسی با نتایج شیمیابی و همکاران [۳۱] در مورد استفاده از مدل SWAT و برنامه ParaSol در شبیه‌سازی درست مؤلفه‌های اصلی تعادل آبی حوزه مطابقت دارد. به طور کلی مدل SWAT با کمی کردن مقدار مؤلفه‌های مختلف چرخه‌ی آب‌شناختی و توزیع هر یک از این مقادیر در سطح حوزه و زیر حوزه‌ها می‌تواند با تعیین بیان آبی حوزه در مدیریت درست منابع آبی و استفاده بهینه از آنها در آینده حائز اهمیت باشد.

منابع

- 1- Alavipanah, M and Naseirei Saleh, F. 2010. Compration of SWAT and HSPF Models in sediment simulation (Case study: Abroo Watershed). The Fifth National Congress on Civil Engineering. Ferdosei University: 1-8.(In persian)
- 2- Amanei, N. Tajrishi, M and Abrisham chi, A. 2006. Streamflow simulation using SWAT model and GIS. Seventh International Seminar on River Engineering. Shahid Chamran University. 1-8 .(In persian)

- and Technology of Agriculture and Natural Resources . 12(46) B: 517-531.(In persian)
- 25- Rostamian, R. Jaleha, A. Afyunia, M. Mousavian, S.F. Heidarpour, M. Jalalian, A. and Abbaspour, K.C. 2010. Application of a SWAT model for estimating runoff and sediment in two mountainous basins in central Iran. Hydrological Sciences Journal. 53(5): 977–988.(In persian)
- 26- Saleh, D.K. Kratzer, C.R., Green, C.H. and Evans, D.G. 2009. Using the Soil and Water Assessment Tool (SWAT) to Simulate Runoff in Mustang Creek Basin, California, Scientific Investigations Report 2009–5031, U.S. Geological Survey, Reston, Virginia, the American water resources association. 44(1): 48-61
- 27- Sangjun, I. Kevin, M. Brannan, S. Mostaghimi, S. K. 2007. Comparison of HSPF and SWAT models performance for runoff and sediment yield prediction. Journal of Environmental Science and Health. 42(11): 1561–1570
- 28- Santhi, C. Arnold, J.G. Williams, J.R. Dugas, W.A. Srinivasan, R. and Hauck, L.M. 2001. Validation of the SWAT model on a large river basin with point and nonpoint sources. J. American Water Resour. Assoc. 37(5): 1169-1188
- 29- Setegn, S.G. Srinivasan, R. Melesse, A.M. and Dargahi, B. 2010. SWAT model application and prediction uncertainty analysis in the Lake Tana Basin, Ethiopia. Journal of Hydrological processes. 24: 357-367
- 30- Shi, P. Chen, C. Srinivasan, R. Zhang, X. Cai, T. Fang, X. Qu, S. Chen, X. and Li, Q. 2011. Evaluating the SWAT Model for Hydrological Modeling in the Xixian Watershed and a Comparison with the XAJ Model. Journal of Water Resour Manage, DOI 10.1007/s11269-011-9828-8
- 31- Shimelis, G.S. Srinivasan, R. and Dargahi, B. 2008. Hydrological Modelling in the Lake Tana Basin, Ethiopia Using SWAT Model. The Open Hydrology Journal. 2: 49-62.
- 32- Spruill, C.A. Workman, S.R. and Taraba, J.L. 2000. Simulation of daily and monthly stream discharge from small watersheds using the SWAT model. Trans ASAE 43(6): 1431–1439
- 33- Sun, H. and Cornish, P.S. 2005. Estimating shallow groundwater recharge in the headwaters of the Liverpool Plains using SWAT. Journal of Hydrological Processes. 19: 795–807
- 14- Hyung -Kyung, J. Jong -Yoon, P. Hyun-Kyo, J. Hyung-Jin, S. Hyung-Joong, K. and seong-joon, K. 2011. The uncertainty analysis of SWAT simulated stream flow and water quality applied to Chungju dam watershed of South Korea. Dep of civil and environmental system eng, konkuk university seoul, south korea
- 15- Jaehak, J. Narayanan, K. Jeff Arnold, R. Glick, L.G. and Raghavan, S. 2010. Development and Integration of Sub-hourly Rainfall–Runoff Modeling Capability within a Watershed Model. Water Resour Manage. DOI 10.1007/s11269-010-9670-4
- 16- Li, K.Y. Coe, M.T. Ramankutty, N. and De Jong, R. 2007. Modeling the hydrological impact of land-use change in West Africa. Journal of Hydrology. 337: 258– 268
- 17- Liu, Y. 2009. Automatic calibration of a rainfall–runoff model using a fast and elitist multi objective particle swarm algorithm. Expert Systems with Applications. 36: 9533–9538
- 18- Manoj Jha, K. 2009. Hydrologic Simulations of the Maquoketa River Watershed Using SWAT. Center for Agricultural and Rural Development. Iowa State University, Working Paper 09-WP 492: 26pp
- 19- Manoj Jha, K. Arnold, J.G. And Gassman, P.W. 2007. Water Quality Modeling for the Raccoon River Watershed Using SWAT. CARD Working Paper 06-WP 428: 28pp.
- 20- Mulungu, D.M. and Munishi, S.E. 2007. Simiyu River catchment parameterization using SWAT model. Physics and Chemistry of the Earth. 32: 1032–1039
- 21- Ndomba1, P.M. and Birhanu, B.Z. 2008. Problems and Prospects of SWAT Model Applications in NILOTIC Catchments: A Review, Nile Basin Water Engineering Scientific Magazine, Vol.1: 41-52
- 22- Neitsch, S.L. Arnold, J.G. Kiniry, J.R. Williams, J.R. and King, K.W. 2005. Soil and Water Assessment Tool -Theoretical Documentation – version 2005, Texas
- 23- Robert, S.A. Scott, w.w. and Hans, R.Z. 2008. Hhdrologic Calibration and Validation of SWAT in a snow dominated rocky mountain Watershed, Montana, U.S.A. Journal of the American Water Resources Association. 44(6): 1411-1430
- 24- Rostameian, R. Muosavei, S.F. Heidar por, M. Afionei, H and Abas por, K. 2008. Application of SWAT2000 for estimation in Behesht Abad Watershed. Journal of Scince

Hydrology: 1-23

36- Zhang, X. Srinivasan, R. Debele, B. and Fanghua, H. 2008. Runoff Simulation of the headwaters of the Yellow river using the SWAT model with three snowmelt algorithms. Journal of the American water resource association. 1(44): 48-61

34- Van Liew, M.W. 2003. Impact of flood retarding structures on simulated streamflow for various sized watersheds under varying climatic conditions, GIS and Remote Sensing in Hydrology, journal of Water Resources and Environment. IAHS Publ. 289

35- Yang, J. Reichert, P. Abbaspour, K.C. Xia, J. and Yang, H. 2008. Comparing uncertainty analysis techniques for a SWAT application to the Chaohe Basin in China. Journal of